

Отчет о выполнении OpenMP части задания по курсу "Суперкомьютерное моделирование и технологии"

Мозговых Василий, 601 группа

Математическая постановка задачи

В треугольнике $D = \{(x, y) | y > 0, -x + 3y - 12 < 0, x + 3y - 12 < 0\}$, ограниченной кусочно-гладким контуром γ , рассматривается дифференциальное уравнение Пуассона

$$-\Delta u \equiv -\frac{\partial^2 u}{\partial x^2} - \frac{\partial^2 u}{\partial y^2} = 1. \quad (1)$$

Для выделения единственного решения уравнение дополняется граничным условием Дирихле

$$u(x, y) = 0, \quad (x, y) \in \gamma. \quad (2)$$

Требуется найти функцию $u(x, y)$, удовлетворяющую уравнению (1) в области D и краевому условию (2) на ее границе.

Численный метод решения задачи

Для нахождения приближенного решения задачи (1), (2) используется метод фиктивных областей.

Метод фиктивных областей

Вводится прямоугольник $\Pi = \{(x, y) | -3, 2 < x < 3, 2, -0, 2 < y < 4.2\}$ и его граница Γ . Далее фиксируется малое $\varepsilon > 0$.

В прямоугольнике Π рассматривается следующая задача Дирихле

$$-\frac{\partial}{\partial x} \left(k(x, y) \frac{\partial v}{\partial x} \right) - \frac{\partial}{\partial y} \left(k(x, y) \frac{\partial v}{\partial y} \right) = F(x, y), \quad (x, y) \in \Pi \setminus \gamma, \quad (3)$$

с краевым условием

$$v(x, y) = 0, \quad (x, y) \in \Gamma,$$

где коэффициент

$$k(x, y) = \begin{cases} 1, & (x, y) \in D, \\ 1/\varepsilon, & (x, y) \in \Pi \setminus \overline{D}, \end{cases}$$

и правая часть уравнения

$$F(x, y) = \begin{cases} 1, & (x, y) \in D, \\ 0, & (x, y) \in \Pi \setminus \overline{D}. \end{cases}$$

Требуется найти непрерывную в $\bar{\Pi}$ функцию $v(x, y)$, удовлетворяющую дифференциальному уравнению задачи (3) всюду в $\Pi \setminus \gamma$, равную нулю на границе Γ прямоугольника, и такую, чтобы вектор потока

$$W(x, y) = -k(x, y) \left(\frac{\partial v}{\partial x}, \frac{\partial v}{\partial y} \right)$$

имел непрерывную нормальную компоненту на общей части границы области D и прямоугольника Π .

Известно, что функция $v(x, y)$ равномерно приближает решение $u(x, y)$ задачи (1), (2) в области D , а именно

$$\max_{(x,y) \in \bar{D}} |v(x, y) - u(x, y)| < C\varepsilon, \quad C > 0.$$

Это обстоятельство позволяет строить разностные схемы в прямоугольнике Π вместо исходной области D .

Разностная схема

Краевая задача для уравнения (3) решается численно методом конечных разностей. В замыкании прямогольника $\bar{\Pi}$ определяется равномерная сетка

$$\bar{\omega}_h = \{x_i = -3, 2 + ih_1, i = 0, \dots, M, \quad y_j = -0, 2 + jh_2, j = 0, \dots, N\},$$

где $h_1 = 6,4/M$, $h_2 = 4,4/N$, $h = \max(h_1, h_2)$. Через ω_h обозначим множество узлов сетки, которые не лежат на границе Γ .

Рассмотрим линейное пространство H функций, заданных на сетке ω_h . Обозначим через w_{ij} значение сеточной функции $w \in H$ в узле сетки $(x_i, y_j) \in \omega_h$. Будем считать, что в пространстве H задано скалярное произведение и L_2 норма

$$(u, v) = \sum_{i=1}^{M-1} \sum_{j=1}^{N-1} u_{ij} v_{ij} h_1 h_2, \quad \|u\|_{L_2} = \sqrt{(u, u)}.$$

В методе конечных разностей дифференциальная задача математической физики заменяется конечно-разностной операторной задачей вида

$$Aw = B,$$

где $A : H \rightarrow H$ - оператор, действующий в пространстве сеточных функций, $B \in H$ - известная правая часть.

Дифференциальное уравнение задачи (3) во всех внутренних точках аппроксимируется разностным уравнением

$$-\frac{1}{h_1} \left(a_{i+1j} \frac{w_{i+1j} - w_{ij}}{h_1} - a_{ij} \frac{w_{ij} - w_{i-1j}}{h_1} \right) - \frac{1}{h_2} \left(b_{ij+1} \frac{w_{ij+1} - w_{ij}}{h_2} - b_{ij} \frac{w_{ij} - w_{ij-1}}{h_2} \right) = F_{ij},$$

$$i = 1, \dots, M - 1, \quad j = 1, \dots, N - 1,$$

в котором коэффициенты

$$a_{ij} = \frac{1}{h_2} \int_{y_{j-0,5}}^{y+0,5} k(x_{i-0,5}, \eta) d\eta, \quad b_{ij} = \frac{1}{h_1} \int_{x_{i-0,5}}^{x_{i+0,5}} k(\xi, y_{j-0,5}) d\xi$$

при всех $i = 1, \dots, M$, $j = 1, \dots, N$. Здесь полуцелые узлы

$$x_{i\pm 0,5} = x_i \pm 0,5h_1, \quad y_{j\pm 0,5} = y_j \pm 0,5h_2.$$

Правая часть разностного уравнения

$$F_{ij} = \frac{1}{h_1 h_2} \iint_{\Pi_{ij}} F(\xi, \eta) d\xi d\eta, \quad \Pi_{ij} = \{(x, y) \mid x_{i-0,5} \leq x \leq x_{i+0,5}, y_{j-0,5} \leq y \leq y_{j+0,5}\}$$

при всех $i = 1, \dots, M - 1$, $j = 1, \dots, N - 1$.

Краевые условия задачи Дирихле аппроксимируются точно равенством

$$w_{ij} = w(x_i, y_j) = 0, \quad (x_i, y_j) \in \Gamma.$$

Переменные, заданные краевым условием, исключаются из системы уравнений $Aw = B$. Все коэффициенты a_{ij} , b_{ij} и F_{ij} вычисляются аналитически. В результате нужно решить систему из $(M - 1) \times (N - 1)$ уравнений с $(M - 1) \times (N - 1)$ неизвестными.

Метод решения системы линейных алгебраических уравнений

Приближенное решение разностной схемы получается итерационным методом сопряженных градиентов. Для ускорения сходимости метода применяется диагональное предобуславливание.

Пусть оператор $D : H \rightarrow H$ действует на сеточные функции $w \in H$ по правилу

$$(Dw)_{ij} = [(a_{i+1j} + a_{ij})/h_1^2 + (b_{ij+1} + b_{ij})/h_2^2]w_{ij}, \quad i = 1, \dots, M - 1, j = 1, \dots, N - 1.$$

Этот оператор легко обратим по элементарным формулам, т.к. по сути является поэлементным умножением на положительные числа (в матричном виде это соответствовало бы умножению на диагональную невырожденную матрицу).

Начальное приближение $w^{(0)}$ к решению разностной схемы выбирается равным нулю во всех точках расчётной сетки.

Нулевая итерация совершаются по формулам скорейшего спуска. Пусть $r^{(0)} = B$ - невязка начального приближения, функция $z^{(0)} = D^{-1}r^{(0)}$. Тогда направление спуска $p^{(1)} = z^{(0)}$, $q^{(1)} = Ap^{(1)}$, шаг вдоль направления спуска определяется параметром

$$\alpha_1 = \frac{(z^{(0)}, r^{(0)})}{(q^{(1)}, p^{(1)})}.$$

Следующее приближение $w^{(1)}$ вычисляется согласно равенству

$$w^{(1)} = w^{(0)} + \alpha_1 p^{(1)}.$$

Дальнейшие вычисления проводятся по следующим формулам. Пусть выполнено k итераций метода и функции $r^{(k-1)}$, $z^{(k-1)}$, $p^{(k)}$, $q^{(k)}$, $w^{(k)}$, а также коэффициент α_k считаются известными. Тогда невязка последней итерации

$$r^{(k)} = r^{(k-1)} - \alpha_k q^{(k)},$$

сеточная функция $z^{(k)} = D^{-1}r^{(k)}$. Следующее направление спуска

$$p^{(k+1)} = z^{(k)} + \beta_{k+1} p^{(k)},$$

где коэффициент

$$\beta_{k+1} = \frac{(z^{(k)}, r^{(k)})}{(z^{(k-1)}, r^{(k-1)})}.$$

Шаг спуска определяется параметром

$$\alpha_{k+1} = \frac{(z^{(k)}, r^{(k)})}{(q^{(k+1)}, p^{(k+1)})},$$

где функция

$$q^{(k+1)} = Ap^{(k+1)}.$$

Следующее приближение к точному решению $w^{(k+1)}$ вычисляется согласно равенству

$$w^{(k+1)} = w^{(k)} + \alpha_{k+1}p^{(k+1)}.$$

Метод сопряженных градиентов гарантирует, что при некотором k , не превосходящем $(M - 1) \times (N - 1)$ приближение $w^{(k)}$ станет равным точному решению разностной схемы. На практике это равенство нарушается из-за ошибок округлений, возникающих в процессе вычислений. Поэтому в качестве условия остановки итерационного процесса помимо максимального числа итераций используется неравенство

$$\|w^{(k+1)} - w^{(k)}\|_{L_2} < \delta.$$

Коэффициент δ выбран равным $3 \cdot 10^{-5}$, исходя из потребности в сходимости метода в отведенное время.

Работа по созданию OpenMP программы

Глобально программа состоит из двух модулей - инициализация коэффициентов и решение разностной схемы. Хранение данных организовано в виде одномерных массивов, поэтому в OpenMP версии все циклы, кроме цикла по номеру итераций k , обернуты директивой `#pragma omp parallel for`.

При инициализации коэффициентов a_{ij} , b_{ij} , F_{ij} соответствующие интегралы вычисляются точно с использованием формулы Ньютона-Лейбница.

При решении разностной схемы количество итераций ограничено сверху количеством переменных, таким образом, программа гарантированно завершится. Помимо L_2 -нормы шага метода сопряженных градиентов отслеживаются L_1 и max нормы:

$$\|u\|_{L_1} = \sum_{i=1}^{M-1} \sum_{j=1}^{N-1} |u_{ij}| h_1 h_2, \quad \|u\|_{max} = \max_{\substack{i=1, \dots, M-1, \\ j=1, \dots, N-1}} |u_{ij}|.$$

Время работы OpenMP программы в секундах получается при помощи функции `omp_get_wtime`. Количество используемых потоков передается программе в аргументах командной строки и далее устанавливается при помощи функции `omp_set_num_threads`.

Результаты расчетов

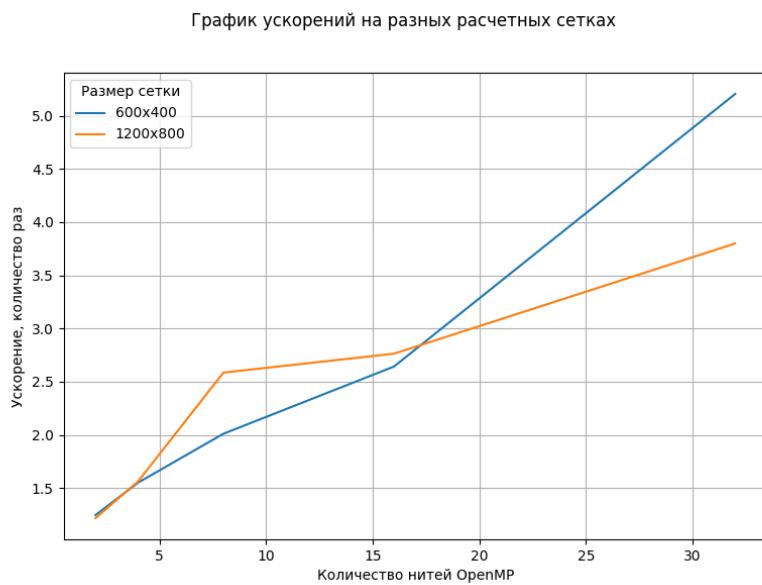
В таблице 1 представлены ускорения относительно CPU версии программы для двух расчетных сеток и разного количества нитей OpenMP.

Далее изображен график ускорения, построенный по табличным данным.

Ниже представлен график численного решения задачи на сетке с параметрами $M = 1200$, $N = 800$.

Количество OpenMP-нитей	Число точек сетки ($M \times N$)	Число итераций	Время решения	Ускорение
2	600x400	477	2.948	1.24
4	600x400	477	2.367	1.55
8	600x400	477	1.826	2.01
16	600x400	477	1.389	2.64
32	600x400	477	0.705	5.21
2	1200x800	718	18.793	1.22
4	1200x800	718	14.634	1.56
8	1200x800	718	8.843	2.59
16	1200x800	718	8.274	2.76
32	1200x800	718	6.017	3.80

Таблица 1: Таблица с результатами расчетов на ПВС IBM Polus (OpenMP код).



Численное решение задачи на сетке 1200x800

